

Ф. А. Д а л и, В. О. М и р о н к и н (Москва, ТК 26, МИЭМ НИУ ВШЭ).
О некоторых моделях древовидного хэширования.

1. Введение Графическое представление, использующее связные ориентированные графы [2] является одним из наиболее наглядных способов описания режимов работы хэш-функций, допускающих распараллеливание вычислений. Представленные подобным образом режимы называются древовидными режимами, а соответствующие графы — деревьями хэширования.

Пользуясь терминологией теории графов [1, 2], введем ряд обозначений и определений. Так вершины дерева хэширования будем называть узлами. Узлы, не имеющие предков, будем называть листьями, а единственный узел, не имеющий потомков — корнем. Пусть при этом

- \mathcal{P} — множество узлов дерева хэширования;
- \mathcal{L} — множество листьев дерева хэширования;
- \mathcal{I} — множество узлов дерева хэширования, не являющихся листьями;
- M_i — i -й слой дерева хэширования, $i \in \overline{1, k+1}$;
- $M_{i,j}$ — j -й узел i -го слоя, $j \in \overline{1, r_i}$.

О п р е д е л е н и е 1. Дерево хэширования называется l -арным, если каждый его узел из \mathcal{I} имеет не более l предков.

О п р е д е л е н и е 2. Высотой k дерева хэширования называется максимальное расстояние от листьев к корню.

О п р е д е л е н и е 3. i -м слоем дерева хэширования называется множество из r_i узлов, лежащих на расстоянии $k - i + 1$ от корня.

Функция $h : V_m \rightarrow V_t$, $m > t$, где m — размер узлов, используемая для преобразования \mathcal{I} , называется внутренней функцией.

По способу функционирования древовидные режимы могут быть разделены на два класса:

- режимы последовательного преобразования слоев дерева хэширования;
- режимы параллельного преобразования слоев дерева хэширования.

Деревья хэширования из первого класса (MD6 [6], Skein [5] и Blake2 [4]) формируются за счет последовательного преобразования узлов первого слоя, состоящего из блоков исходного сообщения. Для второго класса деревья хэширования формируются до начала процесса вычисления хэш-кода на основе имеющего объема памяти. Для формирования таких деревьев блоки сообщения поступают сразу на все имеющиеся узлы и параллельно преобразуются [7].

Алгоритм 1 (последовательное преобразование слоев)

1. Исходное сообщение $M \in V_n$, $n \in \mathbb{N}$, разбивается последовательно на блоки длины m : $M = M_1 || M_2 || \dots || M_{\lceil \frac{n}{m} \rceil}$.

2. На вход узлов $M_j, j \in \overline{1, \min(T, \lceil \frac{n}{m} \rceil)}$, подаются блоки сообщения M_j . Полагаем $i = 1$.
3. Если $\lceil \frac{n}{m} \rceil > T$, то переходим на шаг 5, в противном случае переходим на шаг 7.
4. Если $\lceil \frac{n}{m-i} \rceil > T$, то переходим на шаг 6, в противном случае переходим на шаг 7.

Процедура впитывания

5. 1-й слой дерева хэширования формируется на основе вектора длины mT , взятого от исходного сообщения M . Полагаем $i = i + 1, n = n - mT$ и переходим на шаг 4.
6. 1-й слой дерева хэширования формируется как конкатенация вектора длины tT — результата преобразования i -го слоя на основе функции h , а именно конкатенации значений функции h от каждого узла, и вектора длины $(m - t)T$, взятого от оставшейся части сообщения M . Полагаем $i = i + 1, n = n - mT - (i - 1)(m - t)T$ и переходим на шаг 4.

Процедура построения дерева

7. Пусть $k \in \mathbb{N}$ максимальное: $n_i = ml^k + q_i, 0 \leq q_i < m(l^{k+1} - l^k)$. Тогда
 - либо дополняем при необходимости i -й слой до длины кратной m вектором специального вида и формируем $(i + 1)$ -й слой на основе результата преобразования i -го слоя с помощью функции h .
 - либо формируем $(i + 1)$ -й слой на основе конкатенации вектора длины q_i , перенесенного с i -ого слоя, и результата преобразования i -го слоя (без учета вектора длины q_i) с помощью функции h .
8. Если длина слоя $n_i > m$, то полагаем $i = i + 1$, и переходим на шаг 7, в противном случае при необходимости дополняем i -й слой до длины m вектором специального вида и полагаем $H(M) = h(M_i)$.

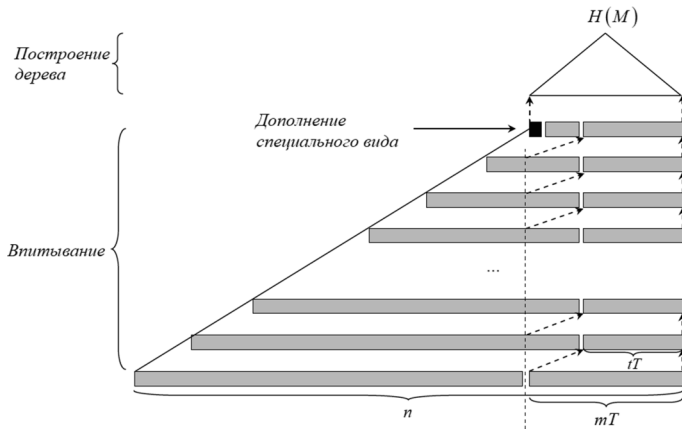


Рис. 1. Последовательное преобразование слоев

Схема работы алгоритма 1 представлена на рис. 1. Вектор, используемый для дополнения слоев на шаге 7 алгоритма 1, должен быть фиксированным и независимым от сообщения. Например, в MD6 используется нулевой вектор.

Однако, в ряде случаев дополнение нулевыми битами позволяет строить структурные коллизии, например, за счет дополнения сообщения нулевыми битами. Во избежание подобных ситуаций последний блок сообщения M следует принудительно дополнять, например, вектором вида $(1, 0, \dots, 0)$.

Следует также отметить, что дополнение на последнем слое дерева хэширования в некоторых случаях дает возможность определения второго прообраза хэш-кода $H(M)$ с трудоемкостью меньшей трудоемкости полного перебора. При этом вероятность успеха существенно зависит от распределения на множестве образов внутренней функции h .

Формирование эквивалентных поддеревьев (деревьев, содержащих одинаковые значения в своих корнях) при последовательном формировании слоев также позволяют находить второй прообраз хэш-кода. Во избежание этого следует исключать совпадения узлов в слоях дерева хэширования [3].

Как было замечено выше второй класс рассматриваемых режимов существенно зависит от объема доступной памяти. Как правило, для корректного вычисления хэш-кода его должно хватать для хранения значений всех узлов полного дерева хэширования. Будем полагать, что каждый узел дерева ассоциирован с ячейкой памяти (или парой накопителей u_i, z_i), тогда имеет место следующий алгоритм.

Алгоритм 2 (параллельное преобразование слоев)

1. В начальный момент времени все накопители $u_i, z_i, i \in \mathcal{P}$, содержат пустые строки. Пусть $j = 0, u = 0$.
2. Для $i \in \mathcal{P}$, начиная с M_0 послойно в накопители u_i записываются блоки длины m исходного сообщения M .
3. Для $i \in \mathcal{P}$ в накопители z_i узлов P_i записывается значения $z_i = h(u_i)$.
4. Если $n > m \left(\frac{l^{k+1}-1}{l-1} + 1 \right)$, то переходим на шаг 6.
5. Если $n \leq m$, то дополняем сообщение вектором специального вида до длины m и полагаем $H(M) = z_0$, и алгоритм заканчивает свою работу, в противном случае вычисляем d :

$$\frac{l^d-1}{l-1} \leq \left\lceil \frac{n-m}{m} \right\rceil \leq \frac{l^{d+1}-1}{l-1},$$

и переходим на шаг 10.

Процедура впитывания

6. $j = j + 1$. В накопитель u_0 записывается $(m - 2t)$ бит оставшейся части сообщения M , затем для $i \in \mathcal{I}, i > 0$, в накопители u_i — $(m - tl)$ бит, и для $i \in \mathcal{L}$ в накопители u_i — m бит.
7. В накопитель z_0 записывается значение $z_0 = h(u_0 || z_0 || z_1)$. Для $i \in \mathcal{I}, i > 0$, в накопители z_i записываются значения $z_i = h(u_i || z_{i+1} || \dots || z_{(i+1)l})$.
8. Если $n - j \left(m - 2t + \frac{l^k-1}{l-1} (m - tl) + ml^k \right) > 0$, то переходим на шаг 6.
9. Если $n - j \left(m - 2t + \frac{l^k-1}{l-1} (m - tl) \right) - (j - 1) ml^k > 0$, тогда полагаем $d = k$, в противном случае полагаем $d = k - 1$, и переходим на шаг 10.

Процедура усечения дерева

10. Если $u < d$, то в накопитель z_0 записывается значение $z_0 = h(u_0 || z_0 || z_1)$, в накопители $z_i, i > 0$, записываются значения $z_i = h(u_i || z_{i+1} || \dots || z_{(i+1)l})$, полагаем $u = u + 1$ и переходим на шаг 10, в противном случае полагаем $H(M) = z_0$, и алгоритм заканчивает свою работу.

На рис. 2 и 3 схематично представлены основные этапы работы алгоритма 2.

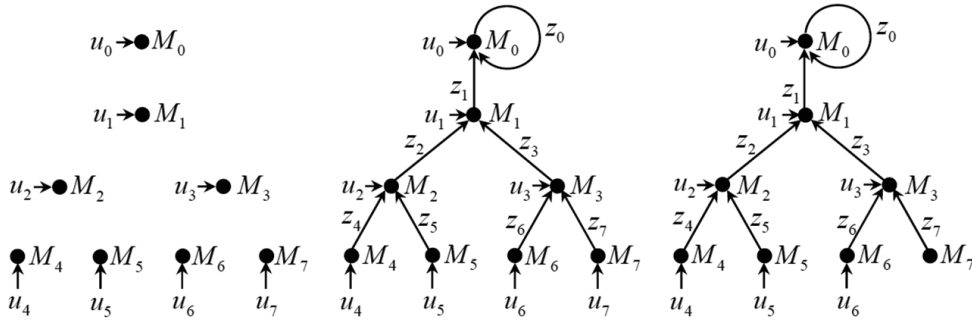


Рис. 2. Процедура впитывания

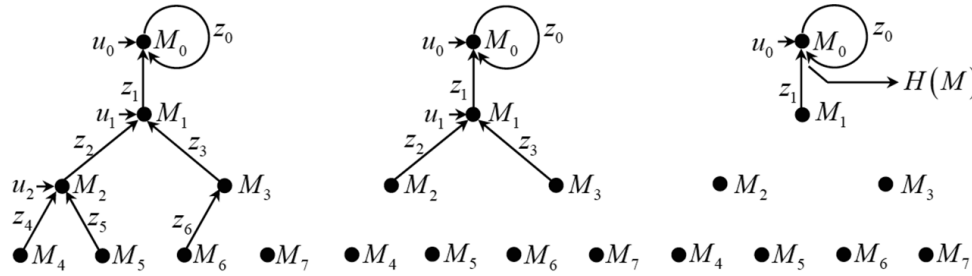


Рис. 3. Процедура усечения дерева

Из рис. 2 видно, что процедура усечения дерева хэширования начинается в случае, когда на узлы перестают поступать блоки сообщения M . При этом после каждого очередного шага алгоритма 2 узлы дерева хэширования последовательно от листьев к корню перестают вносить изменения в узлы верхних слоев (рис. 3). В итоге единственный оставшийся узел будет содержать значение хэш-кода.

Теорема. Трудоемкость алгоритма 1 не превосходит трудоемкости алгоритма 2.

Таким образом, с точки зрения эффективности для заданного объема памяти алгоритм 1 является более предпочтительным.

СПИСОК ЛИТЕРАТУРЫ

1. Колчин В. Ф. Случайные графы (2-е изд.). М.: ФИЗМАТЛИТ, 2004.
2. Сачков В. Н. Вероятностные методы в комбинаторном анализе. М.: Наука, 1978.
3. Дали Ф. А., Миронкин В. О. О вероятностных характеристиках одного класса моделей древовидного хэширования. — Обозрение прикл. и промышл. матем. 2016, т. 23, в. 4, с. 345–347.
4. Aumasson J.-P., Neves S., Wilcox-O’Hearn Z., Winnerlein C. BLAKE2: simpler, smaller, fast as MD5, 2013, <https://blake2.net>.
5. Ferguson N., Lucks S., Schneier B., Whiting D., Bellare M., Kohno T., Callas J. The Skein Hash Function Family, Version 1.3., October, 2010.
6. Rivest R. L., Agre B., Bailey D. V., Crutchfield C., Dodis Y., Fleming K. E., Khan A., Krishnamurthy J., Lin Y., Reyzin L., Shen E., Sukha J., Sutherland D., Tromer E., Yin Y. L. The MD6 hash function. A proposal to NIST for SHA-3, <http://csrc.nist.gov> — Massachusetts Institute of Technology, Cambridge, MA, October, 2008.
7. Sarkar P., Schellenberg P. J. A parallelizable design principle for cryptographic hash functions, Cryptology ePrint Archive, Report 2002/031, 2002, <http://eprint.iacr.org>.